

[Data & Apprentissage]
Introduction à la science des données et à
l'apprentissage

Nicolas Vayatis

Problème de classification, méthodes paramétriques

Données de classification - Exemples

- **Diagnostic médical :**
 - X : résultats des analyses médicales
 - Y : diagnostic,
 - $Y = +1$ si le patient est en bonne santé, et $Y = -1$ sinon
- **Risque de crédit :**
 - X : données socio-économiques d'un individu,
 - Y : indicateur de défaut de paiement,
 - $Y = +1$ si l'emprunteur est fiable, et $Y = -1$ sinon
- **Anti-spam :**
 - X : descripteur d'un email,
 - Y : statut de l'email,
 - $Y = +1$ si le message est un spam, et $Y = -1$ sinon

Quelles décisions pour ces données ?

① Classification

But : Prédire les nouveaux labels Y

Satisfaits si l'erreur de classification est faible

② Scoring

But : Ranger les X dans une liste

Satisfaits si beaucoup de $Y = +1$ sont en tête de liste

Plan de la séance

- 1 Modèle probabiliste des *données* de classification
- 2 Cadre théorique du *problème* de classification
- 3 Méthodes de classification paramétriques (linéaires) classiques
 - 1 Analyse discriminante (LDA/QDA)
 - 2 Analyse discriminante de *Fischer* (FDA)
 - 3 Régression logistique linéaire
- 4 De la classification au scoring (ciblage) : la courbe ROC et l'aire AUC
- 5 Algorithme du perceptron : linéaire et non-paramétrique !

Modèle probabiliste des *données* de classification

Modèle probabiliste pour la classification supervisée

- (X, Y) - couple de variables aléatoires de loi de probabilité inconnue P
- $X \in \mathcal{X}$ - observation sur un espace mesurable (e.g. \mathbb{R}^d)
- $Y \in \{-1, +1\}$ - label/classe binaire (par simplicité)

→ Description de la loi jointe $P = \mathcal{L}(X, Y)$ du couple aléatoire (X, Y) à partir des lois conditionnelles ?

Description de la loi jointe

① Approche générative : $\mathcal{L}(X, Y) = \mathcal{L}(Y) \otimes \mathcal{L}(X | Y)$

- Modèle de type mélange de paramètre :
 $p = \mathbb{P}\{Y = +1\} \in [0, 1]$
- Lois conditionnelles sur \mathbb{R}^d :

$$P_+ = \mathcal{L}(X | Y = +1) \quad \text{et} \quad P_- = \mathcal{L}(X | Y = -1)$$

② Approche discriminative $\mathcal{L}(X, Y) = \mathcal{L}(X) \otimes \mathcal{L}(Y | X)$

- Loi marginale sur \mathbb{R}^d : $P_X = \mathcal{L}(X)$
- Meilleure prévision :

$$\eta(x) = \mathbb{P}\{Y = +1 | X = x\}, \quad \forall x \in \mathbb{R}^d$$

Lien entre les deux descriptions

- Loi marginale (les " dP " désignent les densités des lois) :

$$dP_X = p dP_+ + (1 - p) dP_-$$

- Probabilité a posteriori (fonction de régression) :

$$\forall x \in \mathcal{X}, \quad \eta(x) = \frac{p dP_+}{p dP_+ + (1 - p) dP_-}(x)$$

- Une remarque :

$$\eta(x) > \frac{1}{2} \Leftrightarrow p dP_+(x) > (1 - p) dP_-(x)$$

Cadre théorique du *problème* de classification

Le problème de classification binaire

- **Données disponibles** : $(x_1, y_1), \dots, (x_n, y_n)$, $x_i \in \mathbb{R}^d$, $y_i \in \{-1, +1\}$
- **Problème** : prédiction du label y connaissant x
- **On cherche** : un classifieur $g : \mathbb{R}^d \rightarrow \{-1, +1\}$
- **Question** : trouver un classifieur g qui "généralise" bien.
- **Idée** : on choisit g qui "interprète" bien, mais pas trop !
- **Concrètement** : souvent on cherche une fonction de décision $f : \mathbb{R}^d \rightarrow \mathbb{R}$ et on y associe le classifieur $g = \text{sgn}(f)$

Critère d'évaluation : erreur d'un classifieur

- Etant donnée une observation x , un classifieur g réalise une prédiction $g(x)$ à comparer à la classe y .

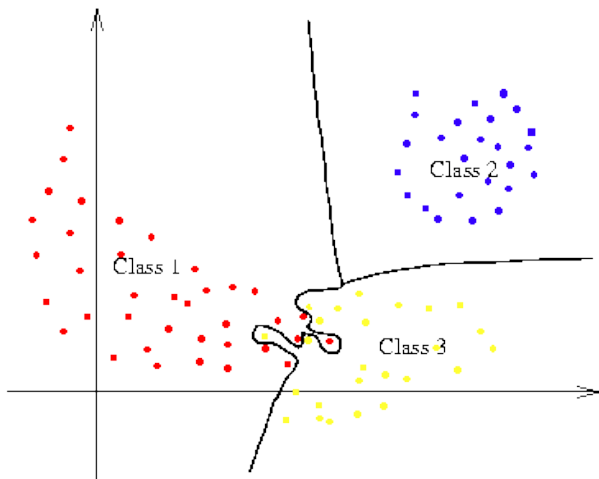
Erreur du classifieur = Taux d'observations mal classées

$$\hat{L}_n(g) = \frac{1}{n} \sum_{i=1}^n \mathbb{I}_{[g(x_i) \neq y_i]} = \frac{\#\{i : g(x_i) \neq y_i\}}{n}$$

Cette erreur s'appelle aussi erreur d'apprentissage.

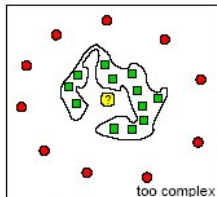
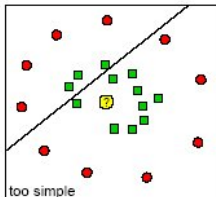
- Un classifieur g "interprète" convenablement les données si son erreur d'apprentissage est faible.
- Attention ! si on s'intéresse seulement à ce type d'erreur, on risque d'avoir des problèmes...

Overfitting en classification

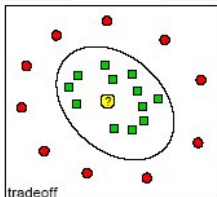


Overfitting en classification (suite)

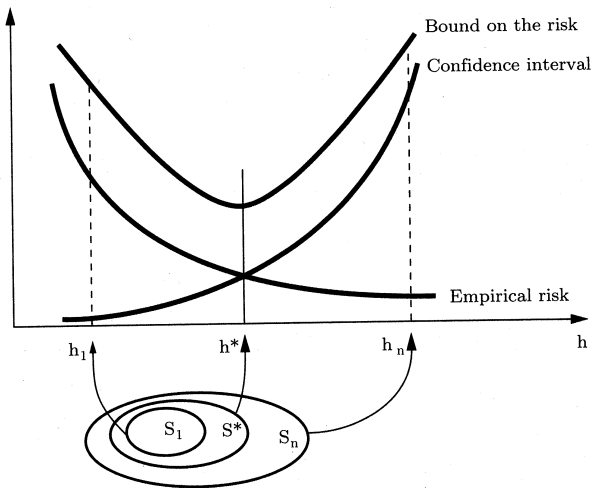
Underfitting and Overfitting



- negative example
- positive example
- new patient



Calibration de la complexité



En pratique : Stratégie du holdout

- On sépare les données disponibles en deux sous-groupes :
 - Base d'apprentissage : $(X_1, Y_1), \dots, (X_n, Y_n)$
 - Base de test : $(X_{n+1}, Y_{n+1}), \dots, (X_{n+m}, Y_{n+m})$

- L'erreur de test $\hat{L}'_m(g) = \frac{1}{m} \sum_{j=1}^m \mathbb{I}_{[g(X_{n+j}) \neq Y_{n+j}]}$ est une estimation de $L(g)$ pour tout classifieur g (on peut conditionner par rapport à la base d'apprentissage si g résulte d'un apprentissage).
- Meilleure pratique : la *validation croisée* pour rendre plus robuste l'estimateur de $L(g)$

Méthode # 1 : Analyse discriminante linéaire (LDA) et quadratique (QDA)

Rappel : loi gaussienne multivariée

Multivariate Gaussian models

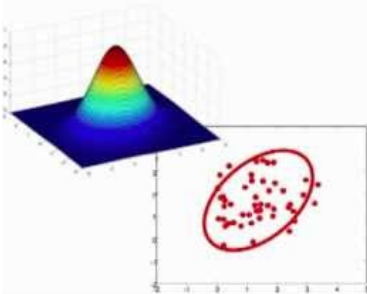
- Similar to univariate case

$$\mathcal{N}(\underline{x}; \underline{\mu}, \Sigma) = \frac{1}{(2\pi)^{d/2}} |\Sigma|^{-1/2} \exp \left\{ -\frac{1}{2} (\underline{x} - \underline{\mu}) \Sigma^{-1} (\underline{x} - \underline{\mu})^T \right\}$$

$\underline{\mu}$ = length-d row vector

Σ = d x d matrix

$|\Sigma|$ = matrix determinant



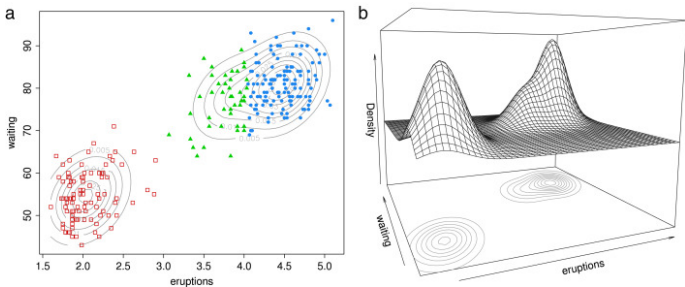
Maximum likelihood estimate:

$$\hat{\underline{\mu}} = \frac{1}{m} \sum_j \underline{x}^{(j)}$$

$$\hat{\Sigma} = \frac{1}{m} \sum_j (\underline{x}^{(j)} - \hat{\underline{\mu}})^T (\underline{x}^{(j)} - \hat{\underline{\mu}})$$

(average of dxd matrices)

Rappel : mélange gaussien en 2D



Hypothèse : le modèle paramétrique de mélange gaussien

- $X \in \mathbb{R}^d$ et $Y \in \{1, \dots, K\}$
- Forme paramétrique gaussienne pour la loi a posteriori

$$\mathbb{P}(X | Y = k) \sim \mathcal{N}(m_k, \Sigma_k), \quad \text{densité } f_k$$

- Paramètre de mélange π_k pour la classe $Y = k$
- On exprime alors :

$$\eta_k(x) = \mathbb{P}(Y = k | X = x) = \frac{\pi_k f_k(x)}{\sum_{j=1}^K \pi_j f_j(x)}$$

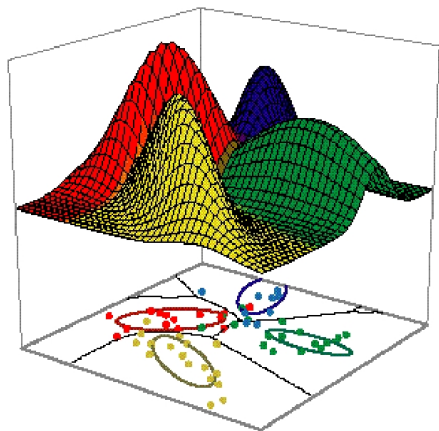
Analyse discriminante linéaire (LDA)

- On suppose que $\Sigma_k = \Sigma, \forall k$
- On exprime alors :

$$\begin{aligned}\log\left(\frac{\eta_k(x)}{\eta_j(x)}\right) &= \frac{\pi_k f_k(x)}{\pi_j f_j(x)} \\ &= \log\left(\frac{f_k(x)}{f_j(x)}\right) + \log\left(\frac{\pi_k}{\pi_j}\right) \\ &= -\frac{1}{2}(m_k + m_j)^T \Sigma^{-1}(m_k + m_j) \\ &\quad + \log\left(\frac{\pi_k}{\pi_j}\right) + x^T \Sigma^{-1}(m_k - m_j)\end{aligned}$$

- Equation linéaire en x !

Analyse discriminante linéaire (suite)



Analyse discriminante quadratique (QDA)

- Cas où les matrices $\Sigma_k, \forall k$ sont distinctes
- On obtient dans ce cas des fonctions discriminantes :

$$\begin{aligned}\delta_k(x) &= -\frac{1}{2}(x - m_k)^T \Sigma_k^{-1}(x - m_k) \\ &\quad + \log(\pi_k) - \frac{1}{2} \log \det(\Sigma_k)\end{aligned}$$

- Séparatrices quadratiques en x !

Lien entre LDA et QDA

- Estimation des matrices Σ_k coûteuse en grande dimension
- Alors : LDA avec termes de couplage ou QDA ?
- Idée : régulariser la matrice par interpolation

$$\hat{\Sigma}_k(\lambda) = \lambda \hat{\Sigma}_k(\lambda) + (1 - \lambda) \hat{\Sigma}$$

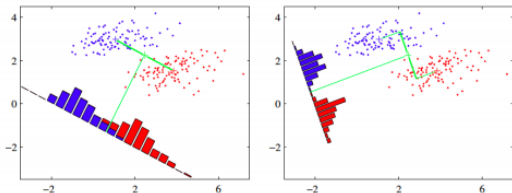
cf. Friedman (1989)

- Variations autour de régularisation et parcimonie

Méthode # 2 : Analyse discriminante de Fisher (FDA)

Principe de l'analyse discriminante de Fisher

- Hypothèse : On considère deux lois gaussiennes pour $\mathcal{L}(X | Y)$
- Heuristique : On considère le séparateur linéaire qui maximise la distance entre les centres des lois projetées normalisée par la variance totale des projections sur le vecteur normal au séparateur.



Plus formellement : Notations pour $i = 1, 2$

- Gaussiennes $\mathcal{N}(\mu_i, \Sigma_i)$ échantillonnées en données de classification binaires
- Estimateurs empiriques des paramètres $\hat{\mu}_i, \hat{\Sigma}_i$
- Centres projetés sur un vecteur $u \in \mathbb{R}^d$: $m_i(u) = u^T \hat{\mu}_i$
- Dispersion des observations projetées :

$$\hat{S}_i^2(u) = \sum_{j: Y_j=i} (u^T X_j - m_i(u))^2$$

Formulation de la FDA

- Critère à maximiser pour $u \in \mathbb{R}^d$:

$$J(u) = \frac{(m_1(u) - m_2(u))^2}{\hat{S}_1^2(u) + \hat{S}_2^2(u)} = \frac{u^T S_B u}{u^T S_W u}$$

où S_B et S_W peuvent être interprétées comme des matrices de dispersion inter et intra-classes.

- La solution par lagrangien est obtenue via la résolution du problème aux valeurs propres :

$$S_B u = \lambda S_W u$$

Si S_W de rang plein, alors la solution est explicite :

$$u = S_W^{-1}(\hat{\mu}_1 - \hat{\mu}_2)$$

- A noter que la direction u n'est pas liée à la direction obtenue pour la PCA.

Méthode # 3 : Régression logistique linéaire

Modèle statistique

- On a : $Y \in \{1, \dots, K\}$, $X \in \mathbb{R}^d$
- On pose $\eta_k(x) = \mathbb{P}\{Y = k \mid X = x\}$ pour $k \in \{1, \dots, K\}$
- On suppose que $\forall k$, qu'il existe $\theta_k \in \mathbb{R}^d$ tel que

$$\log \left(\frac{\eta_k(x)}{\eta_K(x)} \right) = \theta_k^T x$$

- Ou bien :

$$\eta_k(x) = \frac{\exp(\theta_k^T x)}{1 + \sum_{j=1}^{K-1} \exp(\theta_j^T x)}$$

et $\theta_K = 1$.

Fit d'un modèle de régression logistique

- On note $\theta = (\theta_1, \dots, \theta_{K-1})$ et $\eta_k(x) = p_k(x, \theta)$
- Log-vraisemblance

$$\ell(\theta) = \sum_{i=1}^n \log p_k(X_i, \theta)$$

- Cas où $K = 2$, $\theta \in \mathbb{R}^d$, $p(x, \theta) = p_1(x, \theta)$

$$\begin{aligned} \ell(\theta) &= \sum_{i=1}^n (Y_i \log p(X_i, \theta) + (1 - Y_i) \log(1 - p(X_i, \theta))) \\ &= \sum_{i=1}^n (Y_i \theta^T X_i - \log(1 + \exp(\theta^T X_i))) \end{aligned}$$

Résolution numérique

- Equation de score

$$\frac{\partial \ell}{\partial \theta}(\theta) = \sum_{i=1}^n X_i (Y_i - p(X_i, \theta)) = 0$$

- Matrice hessienne

$$H_{\ell}(\theta) = - \sum_{i=1}^n X_i X_i^T p(X_i, \theta) (1 - p(X_i, \theta))$$

- Schéma itératif de Newton-Raphson

$$\theta_{t+1} = \theta_t - (H_{\ell}(\theta_t))^{-1} \frac{\partial \ell}{\partial \theta}(\theta_t)$$

- Se ramène à un estimateur des moindres carrés pondéré...

Limites des méthodes génératives

- Modèles statistiques paramétriques : "All models are wrong"...
- Lourde a priori de modélisation : "... some are useful"
 - cadre gaussien
 - modèle linéaire
- Curse of dimensionality (cf. Bellmann)

De la classification au scoring :

Courbe ROC et AUC

Deux types d'erreur

- Décomposition de l'erreur de classification

$$L(g) = \mathbb{P}\{g(X) = +1, Y = -1\} + \mathbb{P}\{g(X) = -1, Y = +1\}$$

- Taux de faux positifs

$$\alpha(g) = \mathbb{P}\{g(X) = +1 \mid Y = -1\}$$

- Taux de vrais positifs

$$\beta(g) = \mathbb{P}\{g(X) = +1 \mid Y = +1\}$$

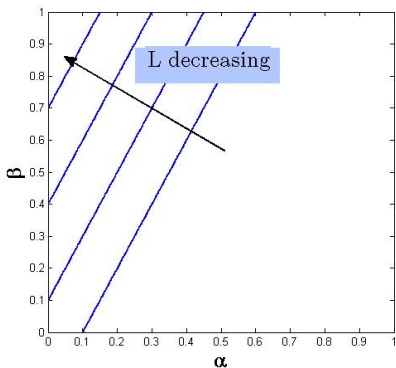
- On remarque que :

$$L(g) = \mathbb{P}\{Y \neq g(X)\} = (1 - p)\alpha(g) + p(1 - \beta(g))$$

Diagramme α - β

- Pour une proportion p fixée, une erreur de classification fixée $L(g) = L$, on a :

$$\beta = \left(\frac{1-p}{p} \right) \alpha + 1 - \frac{L}{p}$$



Tests d'hypothèses

- Sous l'observation X , tester

$$H_0 : Y = -1 \quad \text{contre} \quad H_1 : Y = +1$$

- Statistique de test optimale (Neyman-Pearson)

$$T^*(X) = \frac{1 - p}{p} \cdot \frac{\eta(X)}{1 - \eta(X)}$$

- α = Erreur de première espèce
- β = Puissance du test

Classifieur de Neyman-Pearson

- Pour α fixé, la région de rejet est :

$$R_{\alpha}^* = \{ x : \eta(x) > Q^{-}(\eta, \alpha) \}$$

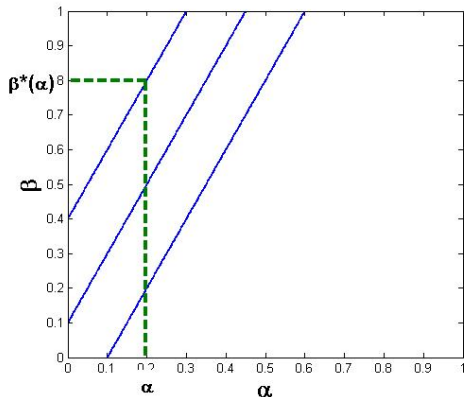
où $Q^{-}(\eta, \alpha) = (1 - \alpha)$ -quantile de $\mathcal{L}(\eta(X) \mid Y = -1)$

- Soit le classifieur :

$$g_{\alpha}^*(x) = 2\mathbb{I}\{x \in R_{\alpha}^*\} - 1$$

Classifieur NP optimal

- En général : $L(g_\alpha^*) > L^*$ sauf si $Q^-(\eta, \alpha) = 1/2$
- Soit $\beta^*(\alpha) = \beta(g_\alpha^*)$



Notations

Performance d'une règle de scoring

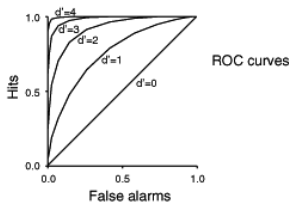
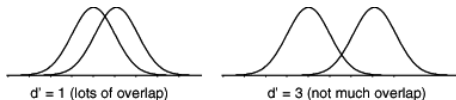
- Consider $s : \mathbb{R}^d \rightarrow \mathbb{R}$ a detector response (scoring rule)
- A hit corresponds to $Y = +1$, an alarm to $\{s(X) \geq t\}$
- True positive rate and false positive rate :

$$\begin{aligned}\beta(s, t) &= \mathbb{P}\{s(X) \geq t \mid Y = +1\} \quad (\text{TPR}) \rightarrow \max \\ \alpha(s, t) &= \mathbb{P}\{s(X) \geq t \mid Y = -1\} \quad (\text{FPR}) \rightarrow \min\end{aligned}$$

- Main point : trade-off required since

$$\begin{aligned}\beta(s, t) &\rightarrow 1 \quad \text{but} \quad \alpha(s, t) \rightarrow 1 \quad \text{when } t \rightarrow -\infty \\ \alpha(s, t) &\rightarrow 0 \quad \text{but} \quad \beta(s, t) \rightarrow 0 \quad \text{when } t \rightarrow +\infty\end{aligned}$$

Courbes ROC idéales



- Pour $s : \mathbb{R}^d \rightarrow \mathbb{R}$ règle fixée
- Courbe ROC d'une règle de scoring s :

$$t \in \mathbb{R} \mapsto (\alpha_s(t), \beta_s(t))$$

Optimal elements for scoring

- $X \in \mathbb{R}^d$ - observation vector in a high dimensional space
- $Y \in \{-1, +1\}$ - binary diagnosis (i.e. classification data)
- Key theoretical quantity (posterior probability)

$$\eta(x) = \mathbb{P}\{Y = 1 \mid X = x\}, \quad \forall x \in \mathbb{R}^d$$

- Optimal scoring rules :
⇒ increasing transformations of η

Critère pratique - Aire sous la courbe ROC (AUC)

- Pour toute règle de scoring s , soit :

$$\begin{aligned} \text{AUC}(s) &= \int_0^1 \text{ROC}(s, \alpha) d\alpha \\ &= \mathbb{P}\{s(X) > s(X') \mid Y > Y'\} \\ &\quad + \frac{1}{2} \mathbb{P}\{s(X) = s(X') \mid Y > Y'\} \end{aligned}$$

où $(X, Y), (X', Y')$ i.i.d.

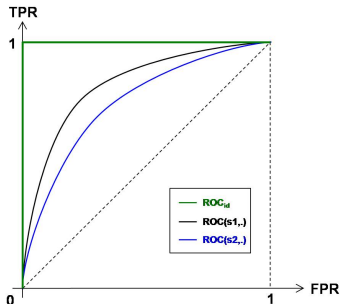
- AUC maximale

$$\text{AUC}^* = \text{AUC}(\eta) = \frac{1}{2} + \frac{\mathbb{E}(|\eta(X) - \eta(X')|)}{4p(1-p)},$$

- La convergence au sens de l'AUC correspond à la convergence L_1 des courbes ROC

Performance measures for scoring

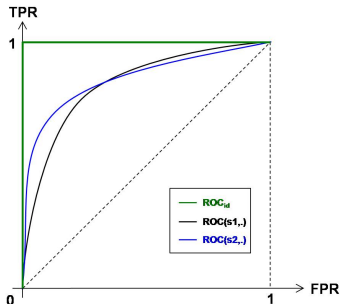
- Curves :
 - **ROC curve**
 - (Precision-Recall curve)
 - (Lift curve)
- Summaries :
 - **AUC** (global measure)
 - Partial AUC
(Dodd and Pepe '03)
 - **Local AUC**
(Cléménçon and Vayatis '07)



ROC curves.

Performance measures for scoring

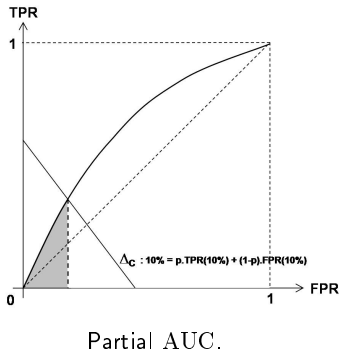
- Curves :
 - **ROC curve**
 - (Precision-Recall curve)
 - (Lift curve)
- Summaries :
 - **AUC** (global measure)
 - Partial AUC
(Dodd and Pepe '03)
 - **Local AUC**
(Cléménçon and Vayatis '07)



ROC curves.

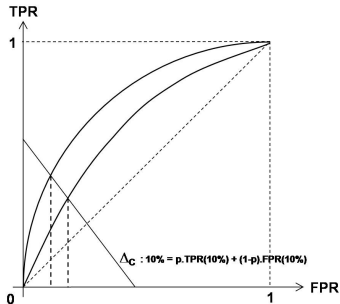
Performance measures for scoring

- Curves :
 - **ROC curve**
 - (Precision-Recall curve)
 - (Lift curve)
- Summaries :
 - **AUC** (global measure)
 - Partial AUC
(Dodd and Pepe '03)
 - **Local AUC**
(Cléménçon and Vayatis '07)



Performance measures for scoring

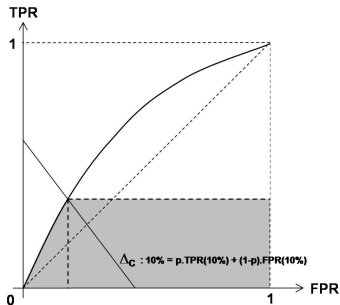
- Curves :
 - **ROC curve**
 - (Precision-Recall curve)
 - (Lift curve)
- Summaries :
 - **AUC** (global measure)
 - Partial AUC
(Dodd and Pepe '03)
 - **Local AUC**
(Cl emen on and Vayatis '07)



Inconsistency of Partial AUC.

Performance measures for scoring

- Curves :
 - **ROC curve**
 - (Precision-Recall curve)
 - (Lift curve)
- Summaries :
 - **AUC** (global measure)
 - Partial AUC
(Dodd and Pepe '03)
 - **Local AUC**
(Cléménçon and Vayatis '07)



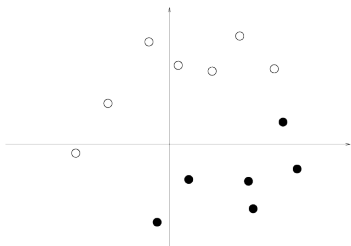
Local AUC.

Algorithmes de discrimination linéaire *non-paramétrique*

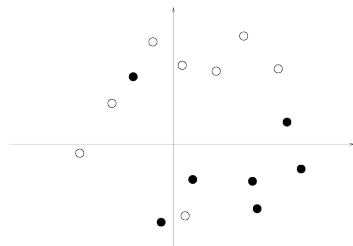
Les trois scénarios

- ① les populations sont linéairement séparables
- ② les populations sont *presque* linéairement séparables
- ③ les populations ne sont pas linéairement séparables

Séparabilité linéaire



Scénario 1



Scénario 2

Scénario 1 - Séparateurs linéaires

- **Forme des fonctions de décision :**

$$f(x) = b + \langle \beta, x \rangle$$

où $b \in \mathbb{R}$, $\beta \in \mathbb{R}^d$.

- L'équation $f(x) = 0$ définit un **hyperplan séparateur** H dans \mathbb{R}^d
- **Classifieur associé :**

$$\forall x \in \mathbb{R}^d \quad g_f(x) = \begin{cases} +1 & \text{si } f(x) > 0 \\ -1 & \text{si } f(x) \leq 0 \end{cases}$$

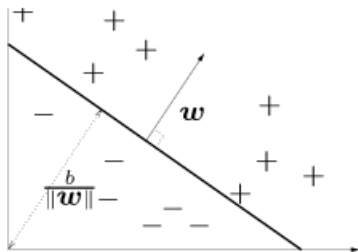
Quelques propriétés

- 1 $\beta^* = \frac{\beta}{\|\beta\|}$ est le vecteur normal à H
- 2 $\forall x_0 \in H, \quad \langle \beta, x_0 \rangle = -b$
- 3 la distance **signée** (éventuellement négative !) d'un point $x \in \mathbb{R}^d$ à H est donnée par

$$d(x, H) = \langle \beta^*, x - x_0 \rangle = \frac{1}{\|\beta\|} (b + \langle \beta, x \rangle)$$

où $x_0 \in H$

Scénario 1 - Une figure



A separating hyperplane $(w, b) \in \mathbb{R}^n \times \mathbb{R}$ for a 2D training set.

Attention! ici $w = \beta \dots$

Algorithme du perceptron (Rosenblatt, 1958)

Perceptron - version simplifiée $b = 0$

Génère une suite β_0, \dots, β_n de valeurs pour β

- 1 **Initialisation** - $\beta_0 = 0$
- 2 **Etape i** - on considère le couple (x_i, y_i) et on regarde s'il est correctement classé ou non

$$\beta_i = \begin{cases} \beta_{i-1} & \text{si } y_i \cdot \langle \beta_{i-1}, x_i \rangle > 0 \\ \beta_{i-1} + y_i x_i & \text{si } y_i \cdot \langle \beta_{i-1}, x_i \rangle \leq 0 \end{cases}$$

Algorithme du perceptron général

Perceptron - version générale

- **Paramètres :**

- taux d'apprentissage η
- rayon des observations $R = \max_{1 \leq i \leq n} \|x_i\|$

- **Algorithme :**

① **Initialisation** - $\beta_0 = 0, b_0 = 0$

② **Etape i** - si (x_i, y_i) est mal classé par l'hyperplan (b_{i-1}, β_{i-1}) , alors :

$$\beta_i = \beta_{i-1} + \eta y_i x_i$$

$$b_i = b_{i-1} + \eta y_i^2 R^2$$

sinon $\beta_i = \beta_{i-1}, b_i = b_{i-1}$

Propriétés du perceptron

Théorème de Novikoff

Si les populations sont linéairement séparables alors l'algorithme du perceptron converge en un nombre fini $T \leq n$ d'étapes où :

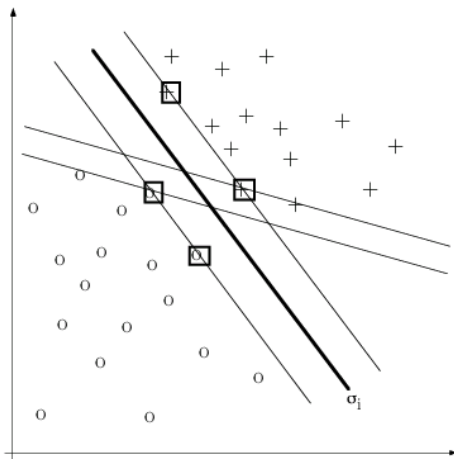
$$T \leq \frac{2R^2}{M^2}$$

avec $M = \min_{1 \leq i \leq n} \{y_i d(x_i, H^*)\}$ pour un certain séparateur H^* .

- **Défaut du perceptron** : mauvaise généralisation
- **Vertu du perceptron** : algorithme séquentiel (online)

Scénario 1 - hyperplan à bonne généralisation

Question : hyperplan se trouvant à distance maximale de chaque population ?



Hyperplan à marges optimales (Vapnik-Chervonenkis, 1964)

Problème d'optimisation

$$\max_{\beta \in \mathbb{R}^d, b \in \mathbb{R}} M$$

sous les contraintes :

$$\forall i = 1, \dots, n, \quad y_i \cdot d(x_i, H) \geq M$$

On rappelle :

$$d(x_i, H) = \frac{1}{\|\beta\|} (b + \langle \beta, x_i \rangle)$$

Problème quadratique

Contraintes :

$$\forall i = 1, \dots, n, \quad y_i \cdot \frac{1}{\|\beta\|} (b + \langle \beta, x_i \rangle) \geq M$$

On peut très bien poser : $M = 1/\|\beta\|$

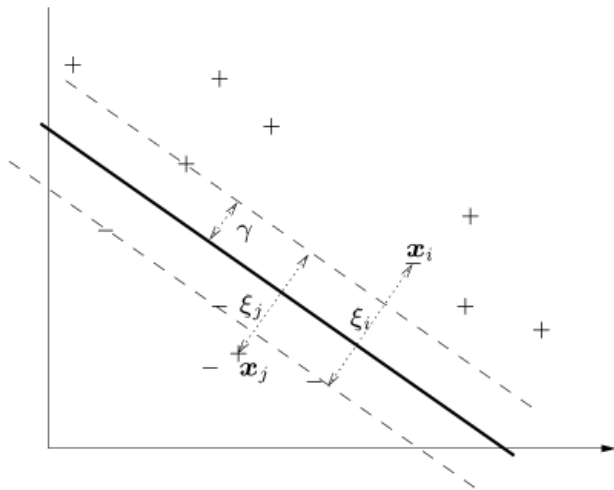
Formulation équivalente

$$\min_{\beta, b} \frac{1}{2} \|\beta\|^2$$

sous les contraintes :

$$\forall i = 1, \dots, n, \quad y_i \cdot (b + \langle \beta, x_i \rangle) \geq 1$$

Scénario 2 - Variables "ressorts"



Scénario 2 - Variables "ressorts" (suite)

On introduit n variables supplémentaires ("slacks" ou "ressorts") :
 $\xi = (\xi_1, \dots, \xi_n)$ avec $\xi_i \geq 0, \forall i$

Nouveau problème d'optimisation

$$\min_{\beta, b, \xi} \frac{1}{2} \|\beta\|^2$$

sous les contraintes :

$$\forall i = 1, \dots, n, \quad y_i \cdot (b + \langle \beta, x_i \rangle) \geq 1 - \xi_i$$

$$\xi_i \geq 0$$

$$\sum_{i=1}^n \xi_i \leq \equiv$$

Formulation lagrangienne I

Formulation lagrangienne I

$$\min_{\beta, b, \xi} \frac{1}{2} \|\beta\|^2 + C \sum_{i=1}^n \xi_i$$

sous les contraintes :

$$\begin{aligned} \forall i = 1, \dots, n, \quad \xi_i &\geq 0 \\ \xi_i &\geq 1 - [y_i \cdot (b + \langle \beta, x_i \rangle)] \end{aligned}$$

Formulation lagrangienne II

Multiplicateurs de Lagrange : $\alpha = (\alpha_1, \dots, \alpha_n)$, $\mu = (\mu_1, \dots, \mu_n)$

Formulation lagrangienne II

$$\min_{\beta, b, \xi} \frac{1}{2} \|\beta\|^2 + C \sum_{i=1}^n \xi_i - \sum_{i=1}^n \alpha_i (y_i \cdot (b + \langle \beta, x_i \rangle) - (1 - \xi_i)) + \sum_{i=1}^n \mu_i \xi_i$$

Conditions du premier ordre (gradient nul)

$$\begin{aligned} \beta &= \sum_{i=1}^n \alpha_i y_i x_i \\ \sum_{i=1}^n \alpha_i y_i &= 0 \\ \forall i = 1, \dots, n, \quad \alpha_i &= C + \mu_i \end{aligned}$$

Formulation duale

$$\max_{\alpha} \sum_{i=1}^n \alpha_i - \frac{1}{2} \sum_{i=1}^n \sum_{j=1}^n \alpha_i \alpha_j y_i y_j \langle x_i, x_j \rangle$$

sous les contraintes :

$$\forall i = 1, \dots, n, \quad 0 \leq \alpha_i \leq C$$
$$\sum_{i=1}^n \alpha_i y_i = 0$$

On note $\hat{\alpha} = (\hat{\alpha}_1, \dots, \hat{\alpha}_n)$ la solution de ce problème.

Conditions de Karush-Kuhn-Tucker

Conditions de Karush-Kuhn-Tucker

$$\begin{aligned} \forall i = 1, \dots, n, \quad & \alpha_i (y_i \cdot f(x_i) - (1 - \xi_i)) = 0 \\ & y_i \cdot f(x_i) - (1 - \xi_i) \geq 0 \\ & \alpha_i + \mu_i = C \\ & \mu_i \xi_i = 0 \\ & \beta = \sum_{i=1}^n \alpha_i y_i x_i \\ & \sum_{i=1}^n \alpha_i y_i = 0 \end{aligned}$$

Lien entre les coefficients et la position des observations

- si $\hat{\alpha}_i = 0$ alors $y_i \cdot f(x_i) \geq 1 \Rightarrow$ le point x_i est bien classé car $\mu_i = C > 0$ et on a $\xi_i = 0$
- si $0 < \hat{\alpha}_i < C$ alors $y_i \cdot f(x_i) = 1 \Rightarrow$ le point x_i est sur la frontière de la marge car $\mu_i > 0$ et $\xi_i = 0$
- si $\hat{\alpha}_i = C$ alors $y_i \cdot f(x_i) \leq 1 \Rightarrow$ le point x_i dépasse la frontière de la marge car $\mu_i = 0$ et donc $\xi_i \geq 0$

Phénomène remarquable !

En pratique, beaucoup de $\hat{\alpha}_i$ sont nuls !

Solution du problème

Définition

Les $\hat{\alpha}_i \neq 0$ correspondent aux **vecteurs de support**. On note I l'ensemble des indices parmi $\{1, \dots, n\}$ correspondants.

Représentation de la solution

Fonction de décision :

$$\hat{f}(x) = \hat{b} + \sum_{i \in I} \hat{\alpha}_i y_i \langle x_i, x \rangle$$

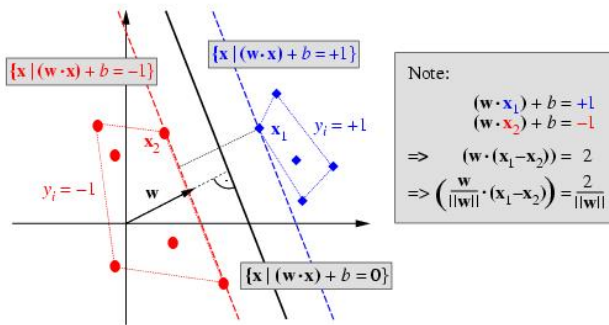
où :

$$\hat{\beta} = \sum_{i \in I} \hat{\alpha}_i y_i x_i, \quad I = \{i : \hat{\alpha}_i \neq 0\}$$

$$\hat{b} = y_j - \sum_{i \in I} \hat{\alpha}_i y_i \langle x_i, x_j \rangle, \quad \text{pour un certain } j \in I$$

Vecteurs de support

Canonical Optimal Hyperplane



\Rightarrow Représentation **parcimonieuse** ("sparse") des SVM

Prochains épisodes

- Classification non supervisée (sans labels)
- Autres algorithmes de classification, non-paramétriques, non-linéaires
- Calibration de la complexité et régularisation de problèmes d'optimisation